



دانشکده مهندسی

پایان نامه کارشناسی ارشد در رشته مهندسی مواد

بررسی خوردگی فولاد زنگ نزن رسوب سختی شونده
ترمیم شده به روشن جوشکاری 17-4 PH

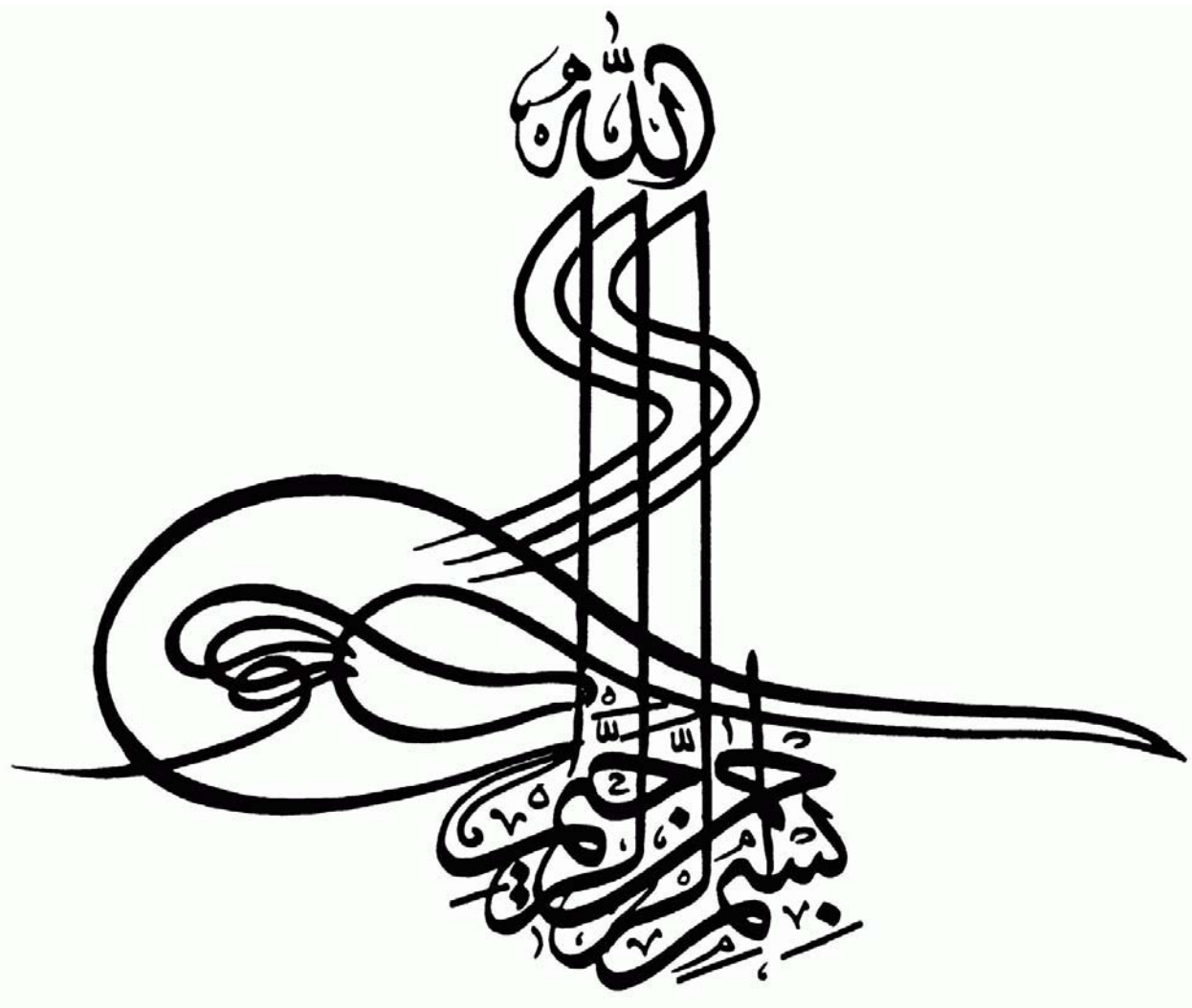
توسط

محمد رضا توکلی شوستری

استاد راهنما:

دکتر محمد هادی موبید

تابستان ۱۳۸۷



تقدیم به مادر پدر عزیزم که معلمین حقیقی زندگیم بستند.

تقدیم به جناب دکتر محمد هادی مؤید که تجربیات ارزشمندی را به من منتقل کرده و انجام این پژوهش بدون

راهنمایی و هدایت ایشان ممکن نبود و همواره با صبر و حوصله، ایرادات پرشمار کارم را به من کوشند نمودند.

و تقدیم به تمام آموزگاران زندگیم که هرگز فراموشان نخواهم کرد.

...

و تقدیم به همه کسانی که در راه آگاهی و دانش انسان ها کام بر می دارند و خویشتن را در این مسیر متعدد و مسئول می

دانند.

پاسکزاری

حمد و سپاس ایزد منان را که به بنده تحریر توفیق داد تا قادر باشم اطلاعاتی جمع آوری و آن هارا بصورت این رساله ارائه دهم.

اکنون که این رساله به مایان رسیده است بر خود فرض می دانم که از استاد ارجمند و گرفانقدر، جناب آقای دکتر مؤید، که در

طی انجام و پیشبرد این پروژه همواره حامی، مشوق و راهنمای من بوده اند، پاسکزاری نمایم.

نیز از راهنمایی ها وزحمات بی دینج جناب آقای دکتر علی داوودی، استادیار دانشگاه تریست معلم سبزوار، کمال مشکر را

دارم.

از جناب آقای مهندس گلیانی در شرکت طراحی مهندسی مهام توں، که آنرا مورد استفاده در این تحقیق و چنین بعضی

اطلاعات مفید در زمینه این آنرا انتخاب من قرار دادم، مشکر می نمایم.

پاس فراوان از جناب آقای دکتر خلیل رنجبر، داشیار دانشگاه شهید همان اهواز، که این امکان را فراهم نمودند تا از

دانشگاه میکروسکوپ الکترونی روبشی در آزمایشگاه مرکزی آن مؤسسه بهره مند شوم.

و د آخر، سپاس از تمامی دوستانی که بسیار مراد انجام این پروژه یاری نمودند.

چکیده

ضرورت استفاده از فولادهای زنگ نزن رسوب سختی شونده **17-4PH** در صنایع مختلف از یک طرف و گرانتر بودن ساخت این فولادها از سایر فولادهای زنگ نزن از طرف دیگر، باعث شده تا در صورت معیوب بودن قطعه، هزینه جایگزینی کاملا مشابه مقرون به صرفه نباشد. با استفاده از جوشکاری، مکانهای معیوب و ترک خورده ترمیم می‌شوند و با توجه به کاهش زمان توقف و رفع نیاز خرید قطعه جدید، هزینه تعمیرات کاهش می‌یابد. برای این منظور به کمک شبیه سازی ابتدا شیاری در قطعه ایجاد و سپس جوشکاری شد. جوشکاری به روش **GTAW** و به صورت دستی با گاز محافظ آرگون و با سیم جوش **ER630** انجام گرفت. بعد از عملیات جوشکاری، عملیات حرارتی پس گرم (PWHT) ابتدا در دمای حل سازی 1040°C به مدت یک ساعت و پس از آن در دماهای پیرسازی 480°C (یک ساعت)، 550°C (۴ ساعت) و 620°C (۴ ساعت) صورت گرفت. پس از متالوگرافی و مشاهده ریزاساختار توسط میکروسکوپ نوری و الکترونی روبشی (SEM) و همچنین سختی سنجی در نمونه‌ها در نواحی فلز پایه، HAZ و جوش، آزمایشات خوردگی نیز انجام پذیرفت. تست‌های پتانسیل مدار باز (OCP)، پتانسیویدینامیک و پتانسیواستاتیک بر روی هر یک از نمونه‌های جوش و فلز پایه به منظور تعیین پتانسیل خوردگی و پتانسیل حفره دار شدن و همچنین تست آمپر متر با مقاومت صفر (Zero Resistance Ammeter/ZRA) بمنظور اندازه‌گیری تمايل به خوردگی گالوانیک در زمان‌های کوتاه و بلند مدت بین نمونه جوش و فلز پایه در محلول $3/5\% \text{NaCl}$ انجام گرفت. نتایج نشان داد که از لحاظ خصوصیات خوردگی، جوش تعمیری فولاد زنگ نزن **17-4 PH** با استفاده از سیم جوش **ER630** و روش جوشکاری توضیح داده شده، با توجه به دانسیته جریان‌های بسیار کم در همه اندازه‌گیری‌ها در محدوده چند ده nA/cm^2 ، رضایت‌بخش است. مهمترین مزیت PWHT، حذف HAZ بود که باعث گردید خطرناک ترین کوپل به لحاظ کینتیکی یعنی کوپل گالوانیک HAZ/weld از بین رود. همچنین نتایج اندازه‌گیری ۴۲ ساعت خوردگی گالوانیک اندازه گیری شده به روش ZRA، نشان داد که PWHT مقاوت به خوردگی گالوانیک را بهبود می‌بخشد. پیرسازی در 620°C بیشترین خطر را در میان سه کوپل عملیات حرارتی با بیشترین دانسیته جریان گالوانیک دارد.

فهرست مطالب:

عنوان	صفحه
فصل ۱ مروری بر تحقیقات انجام شده	
۱-۱ تعریف یک فولاد زنگ نزن	۱
۲-۱ خوردگی فولادهای زنگ نزن	۲
۳-۱ متالورژی فیزیکی انواع فولادهای زنگ نزن رسوب سختی شونده	۷
۴-۱ فولاد زنگ نزن رسوب سختی شونده ۱۷-۴PH	۹
۵-۱ بررسی میکروساختاری فولاد ۱۷-۴PH	۱۲
۱۲-۱ آنیل اتحالی	۱۲
۱۵-۱ عملیات پیرسازی	۱۵
۱۵-۱-۱ مکانیزم فرآیند رسوب گذاری مس	۱۵
۱۶-۱ مطالعه کینتیک رسوب گذاری	۱۶
۱۸-۱-۲ پیرسازی در 480°C برای یک ساعت	۱۸
۲۰-۱-۲ پیرسازی در 620°C	۲۰
۲۴-۱-۳ تفاوت تصاویر SEM از میکروساختار در شرایط مختلف	۲۴
۲۷-۱-۴ متالورژی جوشکاری	۲۷
۲۷-۱-۵ ارزیابی میکروساختار	۲۷
۲۹-۱-۶ شرایط فلزپایه برای جوشکاری	۲۹
۲۹-۱-۷ عملیات حرارتی قبل از جوش و پس از جوش	۲۹
۳۱-۱-۸ خوردگی فولادهای زنگ نزن ۱۷-۴PH	۳۱
۳۱-۱-۹ کلیات	۳۱
۳۶-۱-۱۰ مطالعه جوش پذیری فولاد زنگ نزن ۱۷-۴PH بکار رفته در پروانه (ایمپلر)	۳۶
۴۲-۱-۱۱ بررسی رفتار خوردگی فولاد زنگ نزن مارتنتزیتی ۴۱۰ مقاطع نازک جوشکاری شده به روشن GTAW در محلول های کلریدی	۴۲
۴۴-۱-۱۲ خوردگی تعدادی از فولادهای زنگ نزن معمول و پرآلیاژ	۴۴
۵۱-۱-۱۳ بررسی خوردگی گالوانیک	۵۱
۵۱-۱-۱۴ بررسی خوردگی گالوانیک با منحنی پلاریزاسیون	۵۱

۲-۵-۷-۱ برسی خوردگی حفره ای و گالوانیک فولاد های زنگ نزن که با لیزر جوشکاری شده اند ۵۴	
فصل ۲ روش انجام کار	
۱-۱ برسی کمی و کیفی آلیاژ ۵۹	
۱-۲ عملیات جوشکاری ترمیمی ۶۰	
۱-۳ عملیات حرارتی بعد از جوشکاری Post Weld Heat Treatment ۶۵	
۱-۴ متالوگرافی و برسی SEM ۶۵	
۱-۵ آزمایشات خوردگی الکتروشیمیایی ۶۶	
فصل ۳ نتایج و بحث	
۲-۱ ارزیابی ریزساختار با میکروسکوپ نوری ۷۰	
۲-۱-۱ نمونه شماره ۱ ۷۰	
۲-۱-۲ نمونه شماره ۲ ۷۴	
۲-۱-۳ نمونه شماره ۳ ۷۵	
۲-۱-۴ نمونه شماره ۴ ۷۵	
۲-۲ برسی ریزساختار توسط میکروسکوپ الکترونی روبشی (SEM) ۷۷	
۲-۲-۱ نمونه شماره ۱، نمونه as-received ۷۷	
۲-۲-۲ نمونه شماره ۲ ۷۹	
۲-۲-۳ نمونه شماره ۳ ۸۰	
۲-۲-۴ نمونه شماره ۴ ۸۰	
۲-۳ سختی سنجی ۸۲	
۲-۴ برسی رفتار خوردگی در نمونه as-weld در محلول NaCl٪/۳/۵ ۸۴	
۲-۴-۱ آزمون پتانسیل مدار باز (OCP) ۸۴	
۲-۴-۲ اندازه گیری پتانسیودینامیک و پتانسیواستاتیک ۸۶	
۲-۴-۳ اندازه گیری های ZRA ۹۱	
۳-۵ برسی تاثیر PWHT بر رفتار خوردگی فولاد جوشکاری شده در محلول NaCl٪/۳/۵ ۱۰۲	
۳-۵-۱ اندازه گیری های پتانسیودینامیک و پتانسیواستاتیک ۱۰۲	
۳-۵-۲ اندازه گیری های ZRA ۱۱۰	
۳-۵-۳ نتیجه گیری ۱۲۴	

۱۲۵	پیشنهادات
۱۲۶	فهرست منابع

فهرست جداول:

صفحه	عنوان
	فصل اول
۳	جدول ۱-۱. ترکیب شیمیایی فولادهای زنگ نزن
۱۰	جدول ۱-۲ ترکیب شیمیایی فولاد ۱۷-۴PH
۱۰	جدول ۱-۳ شرایط مختلف عملیات حرارتی
۱۱	جدول ۱-۴ خواص مکانیکی
۱۱	جدول ۱-۵ خواص فیزیکی
۲۸	جدول ۱-۶ اثر ترکیب بر نوع انجماد اولیه و میکروساختار نهایی جوش در فولادهای PH
۳۲	جدول ۱-۷ نرخ های خوردگی برای آلیاز ۱۷-۴PH در محیط های مختلف
۳۴	جدول ۱-۸ خوردگی تنشی فولاد ۱۷-۴PH
۳۶	جدول ۱-۹ شرایط عملیات حرارتی بعد از جوشکاری و خواص مکانیکی اتصالات، فلز پرکننده-الکترود روکش دار
۳۶	جدول ۱-۱۰ شرایط عملیات حرارتی بعد از جوشکاری و خواص مکانیکی اتصالات، فلز پرکننده-سیم مغزدار
۳۹	جدول ۱-۱۱ مقایسه کاهش جرم اتصالات جوشکاری شده در 50HNO_3 ٪، دمای ۳۸۸K به مدت ۱۴۴ ساعت، mg/cm^2
۴۵	جدول ۱-۱۲ . زمان شروع تشکیل حفره (t_i) برای فولادهای مختلف در آب دریا در 50°C
۴۷	جدول ۱-۱۳ نرخ خوردگی، پتانسیل خوردگی و حفره دار شدن آلیاژها در غلظت های مختلف کلر و در آب دریا در 50°C
۵۶	جدول ۱-۱۴ پارامترهای خوردگی فولادهای زنگ نزن جوشکاری نشده(AR) و با لیزر جوشکاری شده(LW) در محلول $2/5\text{NaCl}$ ٪ نمک طعام در 23°C
۵۸	جدول ۱-۱۵ مقادیر حالت پایدار E_G و I_G کوپل های گالوانیک بین فولادهای زنگ نزن جوشکاری نشده و منطقه جوش آنها
	فصل دوم

جدول ۱-۲ ترکیب شیمیایی فولاد مورد استفاده در این تحقیق.....	۶۰
جدول ۲-۱. تاریخچه قبلی عملیات حرارتی و همچنین خواص مکانیکی اندازه گیری شده فولاد مورد استفاده در این تحقیق.....	۶۰
جدول ۲-۲ پارامترهای جوشکاری به کار رفته برای جوشکاری GTAW.....	۶۳
جدول ۲-۳. ترکیب شیمیایی سیم جوش.....	۶۴
جدول ۲-۴. استفاده شده در این تحقیق.....	۶۵
فصل سوم	
جدول ۳-۱. مقادیر OCP(برای یک ساعت غوطه وری)، پتانسیل حفره دار شدن (E_{pit}) و جریان پسیویتی (i_{pass}).....	۱۰۵

فهرست اشکال:

صفحه	عنوان
	فصل اول
۵	شکل ۱-۱. دیاگرام فازی تعادلی Fe-Cr
۸	شکل ۲-۱ دیاگرام دوتایی کاذب ThermoCalc برای Fe-0.05% C-16% Cr-1% Ni-Ti-0.3% متغیر
۱۲	شکل ۳-۱ تصویر TEM از نمونه آنیل انحلالی که مارتنتزیت لایه ای و میکرو دوقلویی را نشان می دهد.
۱۴	شکل ۴-۱ تصاویر TEM و مدل های تفرق از نمونه آنیل انحلالی که نشانده هند ساختار میکرو دوقلویی می باشد.
۱۵	شکل ۱-۵ تصویر میکروسکوپ نوری از نمونه آنیل انحلالی، زمینه مارتنتزیت تیغه ای
۱۶	شکل ۱-۶ دیاگرام فازی آهن-مس
۱۷	شکل ۱-۷ تاثیر زمان پیرسازی بر روی سختی نمونه های آنیل انحلالی شده
۱۸	شکل ۱-۸ تصویر TEM از نمونه پیرشده در $480^{\circ}C$ برای یک ساعت
۱۹	شکل ۱-۹ تصویر زمینه روشن FEG-TEM برای رسوب مس بدست آمده از نمونه پیرشده در $480^{\circ}C$ برای یک ساعت
۱۹	شکل ۱-۱۰ تصویر HREM از یک رسوب مس
۲۰	شکل ۱-۱۱ تصویر TEM از نمونه پیرشده در $620^{\circ}C$
۲۱	شکل ۱-۱۲ تصویر TEM از رسوبات مس و آستینیت برگشتی در نمونه پیرشده در $620^{\circ}C$ برای ۴ ساعت
۲۰	شکل ۱-۱۳ آستینیت برگشتی. نمونه پیرشده در $620^{\circ}C$ برای ۸ ساعت (a) تصویر زمینه روشن؛ (b) تصویر زمینه تاریک؛ (c) مدل های تفرق؛ (d) تفسیر تصویر (c)
۲۲	شکل ۱-۱۴ (a) و (b) تصاویر زمینه روشن و زمینه تاریک از نمونه پیرشده در $500^{\circ}C$ برای ۶۴ ساعت
۲۳	شکل ۱-۱۵ (a) و (b) تصاویر زمینه روشن و زمینه تاریک از نمونه پیرشده در $600^{\circ}C$ برای ۶۴ ساعت

شکل ۱۶-۱ تصویر زمینه روشن از نمونه پیشده ۵ در 700°C برای ۶۴ ساعت که رسوبات کروی شکل مس را نشان می دهد.....	۲۴
شکل ۱۷-۱ تصاویر SEM از میکروساختار در (a) شرایط A ، (b) شرایط H1150 و (c) H900.....	۲۵
شکل ۱۸-۱ (a) تصویر زمینه روشن TEM از زمینه در شرایط H1150؛ (b) مدل تفرق از شکل (a).....	۲۶
شکل ۱۹-۱ میکروساختار فلز جوش GTA در شرایط as-weld، دلتا فریت در زمینه مارتنتزیت تمپر نشده ، 440X.....	۲۹
شکل ۲۰-۱ سختی سنجی در فلز پایه، HAZ و فلز جوش در شرایط مختلف عملیات حرارتی بعد از جوشکاری(الکترود روکش دار)	۳۷
شکل ۲۱-۱ سختی سنجی در فلز پایه، HAZ و فلز جوش در شرایط مختلف عملیات حرارتی بعد از جوشکاری(سیم مغزدار)	۳۷
شکل ۲۲-۱ میکروساختار SEM از HAZ برای نمونه جوشکاری شده با سیم مغزدار و شرایط عملیات حرارتی B، ساختار مارتنتزیتی با رسوبات کاربیدی.....	۳۸
شکل ۲۳-۱ میکروساختار SEM از HAZ برای نمونه جوشکاری شده با سیم مغزدار و شرایط عملیات حرارتی A، ساختار مارتنتزیتی با رسوبات کاربیدی.....	۳۸
شکل ۲۴-۱ SEM از مقطع نمونه جوشکاری شده با سیم مغزدار و عملیات حرارتی شرایط A- حفره خیلی عمیق.....	۳۹
شکل ۲۵-۱ سطح HAZ نمونه جوشکاری شده با سیم مغزدار و عملیات حرارتی شده در شرایط B	۳۹
شکل ۲۶-۱ سطح جوش و HAZ نمونه جوشکاری شده با سیم مغزدار و عملیات حرارتی شده در شرایط C بعد از ۱۴۴ ساعت تست خوردگی، بهترین مقاومت به خوردگی، پیشده در 620°C بعد از عملیات حل سازی(SEM)	۴۰
شکل ۲۷-۱ سطح جوش و HAZ نمونه جوشکاری شده با سیم مغزدار و عملیات حرارتی شده در شرایط B بعد از ۱۴۴ ساعت تست خوردگی، کمترین مقاومت به خوردگی، پیشده در 550°C بعد از عملیات حل سازی(SEM).....	۴۰
شکل ۲۸-۱ سطح جوش و HAZ نمونه جوشکاری شده با سیم مغزدار و عملیات حرارتی شده در شرایط A بعد از ۱۴۴ ساعت تست خوردگی، حفره زیاد نزدیک به جوش مشاهده شده است(SEM).....	۴۱

شکل ۱-۲۹ خوردگی اتصالات جوش(برای الکترود روکش دار) برای عملیات حرارتی ها و مدت زمان های مختلف.....	۴۱
شکل ۱-۳۰ رفتار پلاریزاسیون پتانسیودینامیک فلز پایه و فلز جوش / HAZ در محلول های کلریدی.....	۴۴
شکل ۱-۳۱ نمودار های OCP بر حسب زمان برای فولادها در آب دریا در C_{\circ}^{50}	۴۵
شکل ۱-۳۲ منحنی های مقاومت پلاریزاسیون برای انواع فولادهای زنگ نزن در آب دریا در C_{\circ}^{50}	۴۷
شکل ۱-۳۳ منحنی های پلاریزاسیون پتانسیودینامیک برای انواع فولادهای زنگ نزن در آب دریا در C_{\circ}^{50}	۴۸
شکل ۱-۳۴ وابستگی نرخ خوردگی به میزان (Cr+Ni) و مقادیر PRE _N برای فولادهای مختلف در آب دریا در C_{\circ}^{50}	۴۹
شکل ۱-۳۵ منحنی نرخ خوردگی بر حسب میزان کروم که نشاندهنده کاهش نرخ خوردگی با افزایش میزان کروم می باشد	۵۰
شکل ۱-۳۶ نمودار t _i و PRE _N در فولادهای زنگ نزن	۵۰
شکل ۱-۳۷ منحنی پلاریزاسیون برای فولاد کربنی و مس در محلول ۳/۵٪ نمک طعام که نشاندهنده اثر کوپل های گالوانیک است.....	۵۲
شکل ۱-۳۸ پتانسیل خوردگی بر حسب زمان برای فولادهای زنگ نزن as-received و منطقه جوش آنها : (a) ۳۰۴ (b) ۳۱۶ (c) ۳۲۷ (d) ۳۲۷ در محلول ۳/۵٪ نمک طعام	۵۴
شکل ۱-۳۹ منحنی های پلاریزاسیون پتانسیودینامیک برای فولادهای زنگ نزن as- received و منطقه جوش آنها : (a) ۳۰۴ (b) ۳۱۶ (c) ۳۲۷ (d) ۳۲۷ در محلول ۳/۵٪ نمک طعام.....	۵۵
شکل ۱-۴۰ منحنی های E _G و I _G برای کوپل های گالوانیک مختلف در محلول ۳/۵٪ نمک طعام.....	۵۷

فصل دوم

شکل ۲-۱. طراحی شماتیک شیار ایجاد شده جهت انجام عملیات جوشکاری ترمیمی.	۶۱
شکل ۲-۲. سطح مقطع نمونه برش خورده جهت انجام آزمایشات.....	۶۴
شکل ۲-۳. طراحی شماتیک جهت استخراج نمونه از (a) مناطق فلز پایه، HAZ و جوش در نمونه PWHT و (b) مناطق فلز پایه و جوش در نمونه های as-weld شده.....	۶۷

شکل ۲-۴ نحوه نصب و قرار گیری الکتروودها در پیل الکتروشیمیایی مربوط به آزمون
های (a) پتانسیویدینامیک و پتانسیواستاتیک و (b) ZRA ۶۹

فصل سوم

شکل ۳-۱. تصویر نوری از ریزساختار فلز پایه در نمونه As-received، تیغه های
مارتنزیت تمپر شده در داخل دانه های آستنیت اولیه به همراه دندربیت های فریت اولیه.
..... ۷۰

شکل ۳-۲. تصویر نوری از ریزساختار ناحیه فلز جوش as-weld، تیغه های بلند و
کشیده مارتنزیت تمپر نشده..... ۷۱

شکل ۳-۳. ماکروگرافی از جوش GTA که نشاندهند (a) ناحیه جوش، (b) egd,c,b مناطق HAZ و (f) فلز پایه می باشد. همه تصاویر میکروسکوپ نوری در بزرگنمایی
یکسان هستند که در (b) نشان داده شده است..... ۷۲

شکل ۳-۴. ماکروگرافی از جوش GTA در نمونه های (a) ۱ و (b) ۴ که نشاندهند از بین
رفتن HAZ می باشد..... ۷۴

شکل ۳-۵. تصاویر نوری از مناطق (a) فلز پایه و (b) جوش در نمونه ۲..... ۷۴

شکل ۳-۶. تصاویر نوری از مناطق (a) فلز پایه و (b) جوش در نمونه ۳..... ۷۵

شکل ۳-۷. تصاویر نوری از مناطق (a) فلز پایه و (b) جوش در نمونه ۴..... ۷۶

شکل ۳-۸ تصاویر SEM در بزرگنمایی های مختلف از میکروساختار ناحیه فلز پایه در
نمونه ۱..... ۷۷

شکل ۳-۹. تصویر SEM از میکروساختار ناحیه جوش فولاد ۱۷-۴PH جوشکاری با
GTAW، مارتنزیت تمپر نشده (M) و دلتا فریت (F). ۷۸

شکل ۳-۱۰. تصاویر SEM از ناحیه (a) فلز پایه و (b) جوش در نمونه ۲، مارتنزیت تمپر
شده و دلتا فریت..... ۷۹

شکل ۳-۱۱. تصاویر SEM در بزرگنمایی های مختلف از میکروساختار ناحیه فلز پایه در
نمونه ۳، لایه های سفید رنگ فریت آلفا در مارتنزیت تمپر شده..... ۸۰

شکل ۳-۱۲. تصاویر SEM از ناحیه (a) فلز پایه و (b) جوش در نمونه ۴، لایه های سفید
رنگ فریت آلفا در مارتنزیت تمپر شده..... ۸۱

شکل ۳-۱۳. سختی سنجی مناطق فلز پایه، HAZ و جوش در نمونه های ۱، ۲، ۳ و ۴. ۸۳

شکل ۳-۱۴. تغییرات OCP برای نواحی فلز پایه، HAZ و جوش در منطقه جوشکاری
ترمیمی فولاد زنگ نزن ۱۷-۴PH، غوطه ور شده برای یک ساعت در محلول ۳/۵٪ نمک
طعام..... ۸۴

- شکل ۳-۱۵. منحنی پلاریزاسیون پتانسیودینامیک برای نواحی فلز پایه، HAZ و جوش در منطقه جوشکاری ترمیمی فولاد زنگ نزن ۱۷-۴PH، غوطه ور شده در محلول $\frac{3}{5}$ % نمک طعام. سرعت روبش mV/min ۳ ۸۷
- شکل ۳-۱۶. نمودار دانسیته جریان پسیویتی از شروع پتانسیل آندی تا پتانسیل حفره دار شدن نسبت به زمان برای نواحی فلز پایه، HAZ و جوش در منطقه جوشکاری ترمیمی فولاد زنگ نزن ۱۷-۴PH، غوطه ور شده در محلول $\frac{3}{5}$ % نمک طعام ۸۸
- شکل ۳-۱۷. تصاویر SEM از مورفولوژی حفره های مشاهده شده در نواحی (a) فلز پایه، (b) جوش و (c) و (d) HAZ بعد از پلاریزاسیون آندی نزدیک به پتانسیل حفره دار شدن نشان داده شده در شکل ۳-۱۵ ۸۹
- شکل ۳-۱۸. منحنی پتانسیواستاتیک برای نواحی فلز پایه، HAZ و جوش در منطقه جوشکاری ترمیمی فولاد زنگ نزن ۱۷-۴PH، غوطه ور شده در محلول $\frac{3}{5}$ % نمک طعام برای ۹۰۰ ثانیه. پتانسیل آندی mV ۱۵۰ نسبت به پتانسیل خوردگی است ۹۱
- شکل ۳-۱۹. (a) دانسیته جریان کوپل گالوانیک و (b) پتانسیل کوپل در سه کوپل در طی یک ساعت غوطه وری در محلول $\frac{3}{5}$ % نمک طعام اندازه گیری شده به روش ZRA ۹۲
- شکل ۳-۲۰. اطلاعات (a) دانسیته جریان کوپل گالوانیک و (b) پتانسیل کوپل در کوپل weld/HAZ برای ۱۰ دقیقه در هر ۶ ساعت در طی ۴۲ ساعت غوطه وری در محلول $\frac{3}{5}$ % نمک طعام اندازه گیری شده به روش ZRA ۹۵
- شکل ۳-۲۱. شکل شماتیک برای نمایش دی پلاریزاسیون شاخه آندی ۹۶
- شکل ۳-۲۲. (a) دانسیته جریان گالوانیک میانگین و (b) پتانسیل کوپل میانگین در سه کوپل گالوانیک ایجاد شده طی ۴۲ ساعت غوطه وری در محلول $\frac{3}{5}$ % نمک طعام اندازه گیری شده به روش ZRA. مقادیر میانگین اطلاعات برای اندازه گیری های ۱۰ دقیقه انجام گرفت ۹۸
- شکل ۳-۲۳. شکل شماتیک برای بیان بهتر ضخیم شدن لایه پسیویتی در اثر پلاریزاسیون آند ۹۹
- شکل ۳-۲۴. منحنی پلاریزاسیون پتانسیودینامیک برای نواحی فلز پایه و جوش در منطقه جوشکاری ترمیمی فولاد زنگ نزن ۱۷-۴PH در نمونه های ۲، ۳ و ۴ غوطه ور شده در محلول $\frac{3}{5}$ % نمک طعام. سرعت روبش mV/min ۳ ۱۰۴
- شکل ۳-۲۵. نمودار دانسیته جریان پسیویتی از شروع پتانسیل آندی تا پتانسیل حفره دار شدن نسبت به زمان برای نواحی (a) فلز پایه و (b) جوش در منطقه جوشکاری ترمیمی

- فولاد زنگ نزن 17-4PH، در نمونه های ۲، ۳ و ۴، غوطه ور شده در محلول $\frac{3}{5}$ % نمک طعام ۱۰۷
- شکل ۳-۲۶. مورفولوژی حفره های پایدار و ناپایدار در نواحی (a,b,c) جوش و (d,e,f) فلز پایه در نمونه های ۲، ۳ و ۴ بعد از پلاریزاسیون آندی نزدیک به پتانسیل حفره دارشدن. ۱۰۸
- شکل ۳-۲۷-۳. منحنی پتانسیواستاتیک برای نواحی فلز پایه و جوش در منطقه جوشکاری ترمیمی فولاد زنگ نزن 17-4PH در نمونه های ۲، ۳ و ۴ غوطه ور شده در محلول $\frac{3}{5}$ % نمک طعام برای ۹۰۰ ثانیه. پتانسیل آندی mV ۲۰۰ نسبت به پتانسیل خوردگی است.. ۱۰۹
- شکل ۳-۲۸-۳. (a) دانسیته جریان کوپل گالوانیک و (b) پتانسیل کوپل در ۲، ۳ و ۴ در طی یک ساعت غوطه وری در محلول $\frac{3}{5}$ % نمک طعام اندازه گیری شده به روش ZRA ۱۱۲
- شکل ۳-۲۹-۳. اطلاعات (a) دانسیته جریان کوپل گالوانیک و (b) پتانسیل کوپل در کوپل weld/base در نمونه ۲ برای ۱۰ دقیقه در هر ۶ ساعت در طی ۴۲ ساعت غوطه وری در محلول $\frac{3}{5}$ % نمک طعام اندازه گیری شده به روش ZRA ۱۱۳
- شکل ۳-۳۰-۳. اطلاعات (a) دانسیته جریان کوپل گالوانیک و (b) پتانسیل کوپل در کوپل weld/base در نمونه ۳ برای ۱۰ دقیقه در هر ۶ ساعت در طی ۴۲ ساعت غوطه وری در محلول $\frac{3}{5}$ % نمک طعام اندازه گیری شده به روش ZRA ۱۱۴
- شکل ۳-۳۱-۳. اطلاعات (a) دانسیته جریان کوپل گالوانیک و (b) پتانسیل کوپل در کوپل weld/base در نمونه ۴ برای ۱۰ دقیقه در هر ۶ ساعت در طی ۴۲ ساعت غوطه وری در محلول $\frac{3}{5}$ % نمک طعام اندازه گیری شده به روش ZRA ۱۱۵

فصل ۱ مروری بر تحقیقات انجام شده

فولادهای زنگ نزن، شاخه مهمی از مواد مهندسی هستند که به طور گستردگی در صنایع و محیطهای مختلف استفاده شده‌اند. طبقه‌بندی شاخه‌های مختلف فولادهای زنگ‌نزن براساس ریزساختار آنها عبارتند از: مارتنتزیتی، فریتی، آستنیتی، دوفازی (آستنیتی- فریتی) و رسوب سختی شونده که از پیش از دهه ۱۹۷۰ گسترش یافته‌اند.

۱-۱ تعریف یک فولاد زنگ نزن

فولادهای زنگ‌نزن گروهی از فولادهای پرآلیاژ بر پایه سیستم‌های Fe-Cr-C و Fe-Cr-Ni می‌باشند. برای زنگ‌نزن شدن، این فولادها باید حاوی حداقل ۱۰/۵ درصد وزنی کرم باشند. این مقدار کرم اجازه شکل‌گیری یک اکسید سطحی پسیو، که از اکسیداسیون و خوردگی فلز زیر لایه تحت شرایط محیطی غیرخورنده جلوگیری می‌کند را میدهد. برخلاف سایر سیستمهای ماده که در آن به طور معمول طبقه‌بندی براساس ترکیب شیمیایی است، فولادهای زنگ‌نزن براساس فاز متالورژیکی (یا فازها)، که غالب می‌باشد، طبقه‌بندی می‌شوند. سه فاز امکانپذیر در فولادهای زنگ‌نزن: مارتنتزیت، فریت و آستنیت می‌باشند. فولادهای زنگ‌نزن دو فازی حاوی تقریباً ۵۰ درصد آستنیت و ۵۰ درصد فریت می‌باشند و دارای خواص مطلوب هر دو فاز می‌باشند. دسته‌های رسوب‌سختی شونده^۱ به طور مشابه نامگذاری می‌شوند، زیرا آنها رسوبهای استحکام‌دهنده را تشکیل داده و به وسیله یک عملیات حرارتی پیرسازی سخت می‌شوند. بعلاوه فولادهای زنگ‌نزن PH به وسیله فاز یا زمینه که در آن رسوبات تشکیل می‌شوند، طبقه‌بندی خواهند شد؛ مارتنتزیتی، نیمه آستنیتی و آستنیتی [۱].

^۱ Precipitation Hardening\PH

انواع فولاد زنگ نزن

- مارتنزیتی (۴XX ،
- فریتی (۴XX ،
- آستنیتی (۲XX, ۳XX ،
- دوفازی (آستنیتی و فریتی) و
- رسوب سختی شده (PH).

۱-۲ خوردگی فولادهای زنگ نزن [۲]

دلیل اصلی وجود فولادهای زنگ نزن مقاومت بالای آنها در برابر خوردگی است. کرم عنصر فعالی است ولی خود و آلیاژهایش غیر فعال شده و در بسیاری از محیطها مقاومت عالی از نظر خوردگی از خود نشان میدهدند. فولادهای زنگ نزن دارای انواع مختلف می‌باشند و مقاومت خوردگی، خواص مکانیکی، و قیمت آنها در طیف وسیعی تغییر می‌کند. به همین دلیل، تعیین دقیق فولاد زنگ نزن برای یک کاربرد موردنظر ضروری است.

جدول ۱-۱ ترکیب متداول‌ترین فولادهای زنگ نزن را در چهار گروه مختلف این فولادها نشان می‌دهد. فولادهای گروه ۳ متداول‌ترین نوع بوده و گروههای ۲ و ۱ و ۴ به ترتیب بعد از آن قرار دارند. سیستم نامگذاری AISI نشان داده شده مربوط به حالت نوردی این فولادهاست.

جدول ۱-۱. ترکیب شیمیایی فولادهای زنگ نزن [۲]

نام UNS	AISI نوع	C	Cr	Ni	درصد عناصر دیگر٪	توضیحات
گروه ۱ فولادهای مارتنتزیتی کرم دار						
S ۴۱۰۰۰	۴۱۰	۰/۱۵ max	۱۱/۵-۱۳/۵	-	-	تینه‌های توربین، زره‌های والو
S ۴۱۶۰۰	۴۱۶	۰/۱۰ max	۱۲-۱۴	-	Se,Mo,Or,Zr	خوش برش
S ۴۲۰۰۰	۴۲۰	۰/۷۰-۰/۷۵	۱۲-۱۴	-	-	کارد و چنگال
S ۴۲۱۰۰	۴۲۱	۰/۲ max	۱۰-۱۷	۱/۲۵-۲/۵	-	انعطاف پذیری بهتر
S ۴۲۰۰۷	۴۲۰۸	۰/۹۰-۰/۷۵	۱۶-۱۸	-	-	خوبی سخت، تینه‌ها
گروه ۲ فولادهای فریتی که قابلیت سخت شدن بوسیله عملیات حرارتی را ندارند						
S ۴۰۵۰۰	۴۰۵	۰/۰۸ max	۱۱/۵-۱۲/۵	۰/۰ max	۰/۱۰-۰/۲ AL	AL از سخت شدن جلوگیری
S ۴۲۰۰۰	۴۲۰	۰/۱۲ max	۱۴-۱۸	۰/۰ max	-	من کند زدهای اتومبیل، فاشن و
S ۴۲۲۰۰	۴۲۲	۰/۲۵ max	۱۸-۲۲	۰/۰ max	-	چنگال در درجه حرارت‌های بالا
S ۴۲۶۰۰	۴۲۶	۰/۰۲۰ max	۱۲-۲۷	۰/۰ max	۰/۲۵ N max	در O و S مقاوم باشد
گروه ۳ فولادهای آستنیتی کرم - نیکل						
S ۲۰۱۰۰	۲۰۱	۰/۱۵ max	۱۶-۱۸	۲/۰-۵/۰	۵/۰-۷/۰ Mn ۰/۲۵ N max	Ni جایگزین شده Mn
S ۲۰۲۰۰	۲۰۲	۰/۰۰ max	۱۷-۱۹	۴-۶	۷/۰-۱۰ Mn ۰/۲۵ N max	-
S ۲۰۱۰۰	۲۰۱	۰/۱۰ Max	۱۶-۱۸	۶-۸	۷ Mn max	کار سخت می‌شود
S ۲۰۲۰۰	۲۰۲	۰/۱۰ max	۱۷-۱۹	۸-۱۰	۷ Mn max	مورده استفاده در معماری
S ۲۰۲۱۰	۲۰۲ B	۰/۱۰ max	۱۷-۱۹	۸-۱۰	۷-۲ Si	برای مقاومت اکسیداسیون
در درجه حرارت‌های بالا						
S ۲۰۴۰۰	۲۰۴	۰/۰۸ max	۱۸-۲۰	۸-۱۲	۱ Si max	۱۸-۸ S پیوسته
S ۲۰۴۰۲	۲۰۴ L	۰/۰۷ max	۱۸-۲۰	۸-۱۲	۱ Si max	خوبی کم کردن
S ۲۰۴۰۰	۲۰۴	۰/۰۸ max	۱۹-۲۱	۱۰-۱۲	۱ Si max	۱۸-۸
S ۲۰۹۰۰	۲۰۹	۰/۲ max	۲۲-۲۴	۱۵-۱۰	۱ Si max	۲۰-۱۲ مقاوم در برابر حرارت
S ۲۱۰۰۸	۲۱۰ S	۰/۰۸ max	۲۴-۲۶	۱۹-۲۲	۱/۵ Si max	کرین کمتر
S ۲۱۴۰۰	۲۱۴	۰/۱۰ max	۲۳-۲۶	۱۹-۲۲	۱/۵-۷/۰	Si برای مقاومت اکسیداسیون در
درجه حرارت‌های بالا						
S ۲۱۶۰۰	۲۱۶	۰/۱۰ max	۱۶-۱۸	۱۰-۱۴	۷-۲ MO	۱۸-۸ SMO
S ۲۱۶۰۲	۲۱۶ L	۰/۰۲ max	۱۶-۱۸	۱۰-۱۴	۷-۲ MO	خوبی کم کردن
S ۲۱۷۰۰	۲۱۷	۰/۰۸ max	۱۸-۲۰	۱۱-۱۴	۷-۲ MO	۱۸-۸
S ۲۲۱۰۰	۲۲۱	۰/۰۸ max	۱۷-۱۹	۸-۱۱	Ti+CeC(min)	Ti پایدار شده با
S ۲۲۷۰۰	۲۲۷	۰/۰۸ max	۱۷-۱۹	۹-۱۳	Cb+Ta+CeC(min)	Cb پیشتر
J ۹۵۱۰	Alloyr*	۰/۰۷ max	۲۹	۲۰	۷/۰-۲/۵ Cu ۲/۰-۲/۵ MO	مقادیرین از نظر خودگشی
گروه ۴ فولادهای پیر سخت شونده						
-	۲۲۲	۰/۰۷	۱۷	۷	۰/۰۷ Ti + ۰/۰۷ Al	
S ۱۷۷۰۰	V-۱۷ PH ⁺	۰/۰۷	۱۷	۷	۱/۰ Al	* ترکیب شیمیائی
S ۱۷۴۰۰	۱۷-۴ PH ⁺	۰/۰۵	۱۶/۵	۴-۲۵	۷/۰ Cu	+ نامهای تجاری
S ۱۳۸۰۰	۱۳-۸ MOPH ⁺	۰/۰۵	۱۴	۸/۵	۷/۰ Mo ۱/۰ Al	● تنها در حالت ریختگی
S ۳۰۰۰۰	AM ۳۵۰ ⁺	۰/۱۰	۱۶/۵	۴-۳	۷/۰ MO	
CD ۷ MCU ⁺	۰/۰۷	۲۰	۵	۷/۰ CU, ۷/۰ MO		

گروه ۱ فولادهای زنگ نزن مارتنتزیتی نام دارند زیرا آنها را می‌توان مثل فولادهای ساده کربنی

بوسیله عملیات حرارتی سخت نمود. با افزایش سختی و استحکام، انعطاف‌پذیری فولاد کم می-

شود. مقاومت خوردگی این گروه معمولاً کمتر از گروه ۲ و ۳ بوده و در حالت سخت شده معمولاً بیشتر از حالت آنیل یا نرم شده آنها می‌باشد. این فولادها در موقعی که مقاومت خوردگی متوسط به همراه استحکام یا سختی بالا مورد نیاز باشد مورد استفاده قرار می‌گیرند.

گروه ۲ فولادهای فریتی هستند که بوسیله عملیات حرارتی نمی‌توان آنها را سخت نمود. شکل

۱-۱ علت این مسئله را نشان می‌دهد. این فولادها خارج از حلقه آستنیت قرار دارند و در تمام درجه حرارت‌ها تا نقطه ذوب بصورت فریت هستند. فولادهای کربنی معمولی بخاطر تغییرات فازی در هنگام سرد شدن قابلیت سخت شدن دارند. همانطور که در شکل ۱-۱ نشان داده شده است، این فولادها در بالاتر از خط A_3 آستینیتی هستند. آستنیت یا آهن γ غیرمغناطیسی بوده و دارای شبکه مکعبی با سطوح مرکز دار می‌باشد. هنگام سرد شدن به آهن α یا فریت تغییر حالت می‌دهد که مغناطیسی بوده و دارای شبکه مکعبی مرکزدار می‌باشد. هنگامی که فولادهای ساده کربنی از منطقه γ بسرعت سرد شوند، مارتنتزیت سخت و شکننده بوجود می‌آید که مغناطیسی بوده ولی دارای شبکه تتراگونال مرکزدار می‌باشد. گروه ۱ فولادهای زنگ نزن، مغناطیسی بوده و چون ترکیب آنها در حلقه گاما قرار می‌گیرد، بوسیله عملیات حرارتی می‌توان آنها را سخت نمود.